

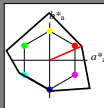
## Eingabe: Farbmétrisches Reflexions-System NCS11

für Buntton  $h^* = lab^*h = 24/360 = 0.066$  $lab^*ch$  und  $lab^*nc$ 

D65: Buntton R

LCH\*Ma: 47 92 24

rgb\*Ma: 1.0 0.0 0.0

Dreiecks-Helligkeit  $t^*$ 

%Umfang

 $u^*_{rel} = 149$ 

%Regulartät

 $g^*_{H,rel} = 46$  $g^*_{C,rel} = 65$ 

## NCS11; adaptierte CIELAB-Daten

	$L^*=L^*_a$	$a^*_a$	$b^*_a$	$C^*_{ab,a}$	$h^*_{ab,a}$
RMa	47.15	84.64	37.25	92.48	24
JMa	91.37	-1.27	125.03	125.03	91
GMa	63.07	-114.28	25.35	117.06	167
G50BMa	59.47	-80.6	-33.45	87.28	203
BMa	49.01	3.65	-81.19	81.28	273
B50RMa	44.06	106.09	-73.93	129.32	325
NMa	10.99	0.0	0.0	0.0	0
WMa	95.41	0.0	0.0	0.0	0
RCIE	39.92	58.69	27.98	65.01	25
ICIE	81.26	-2.9	71.56	71.62	92
GCIE	52.23	-42.45	13.59	44.59	162
BCIE	30.57	1.35	-46.48	46.51	272

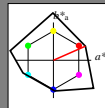
## Ausgabe: Farbmétrisches Reflexions-System NCS11

für Buntton  $h^* = lab^*h = 24/360 = 0.066$  $lab^*ch$  und  $lab^*nc$ 

D65: Buntton R

LCH\*Ma: 47 92 24

rgb\*Ma: 1.0 0.0 0.0

Dreiecks-Helligkeit  $t^*$ 

%Umfang

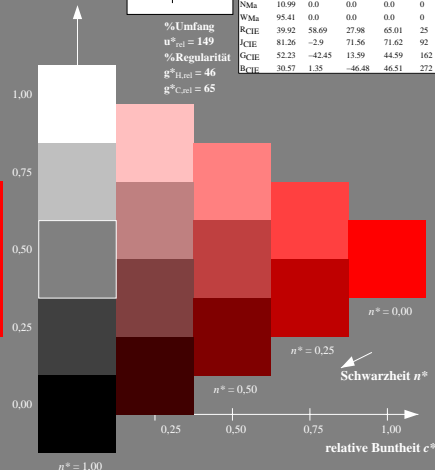
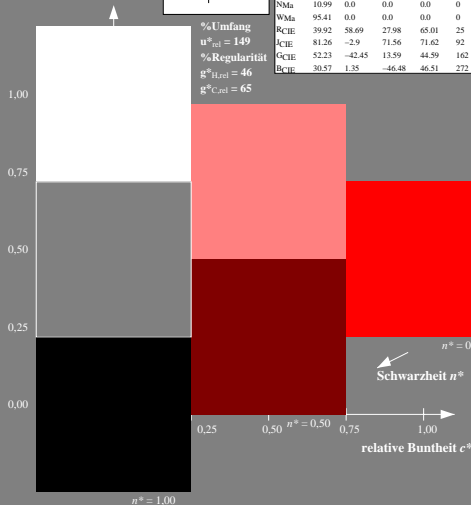
 $u^*_{rel} = 149$ 

%Regulartät

 $g^*_{H,rel} = 46$  $g^*_{C,rel} = 65$ 

## NCS11; adaptierte CIELAB-Daten

	$L^*=L^*_a$	$a^*_a$	$b^*_a$	$C^*_{ab,a}$	$h^*_{ab,a}$
RMa	47.15	84.64	37.25	92.48	24
JMa	91.37	-1.27	125.03	125.03	91
GMa	63.07	-114.28	25.35	117.06	167
G50BMa	59.47	-80.6	-33.45	87.28	203
BMa	49.01	3.65	-81.19	81.28	273
B50RMa	44.06	106.09	-73.93	129.32	325
NMa	10.99	0.0	0.0	0.0	0
WMa	95.41	0.0	0.0	0.0	0
RCIE	39.92	58.69	27.98	65.01	25
ICIE	81.26	-2.9	71.56	71.62	92
GCIE	52.23	-42.45	13.59	44.59	162
BCIE	30.57	1.35	-46.48	46.51	272



TG890-7, 3stufige Reihen für konstanten CIELAB Buntton 24/360 = 0.066 (links)

5stufige Reihen für konstanten CIELAB Buntton 24/360 = 0.066 (rechts)

BAM-Prüfvorlage TG89; Farbmétrik-Systeme NCS11a & NCS11b  
D65: 3 und 5stufige Farbreihen für 10 Bunttöneinput:  $oly^* setrgbcolor$   
output: no change compared to input